

BASIC PRINCIPLES OF AN ASSESSMENT OF THE MORPHOLOGICAL CONDITION OF THE BIOLOGICAL KIDNEY TISSUES IN THE PRISM OF LASER POLARIMETRY

T.M. Boichuk, O.I. Petryshen, H.M. Chernikova, S.B. Yermolenko *

Abstract. The polarization properties of the biological tissues of the kidney in health and under the conditions pathology induced by the nephrotoxic action of metal salts were studied on histological sections. The diagnostic criteria were evaluated on the basis of a statistical, correlation and fractal analysis of the architectonic structure of polarized laser images.

Key words: morphology, kidney, laser polarimetry.

Bukovinian State Medical University (Chernivtsi)
* Yuriy Fedkovych National University (Chernivtsi)

Рецензент – проф. І.С. Давиденко

Buk. Med. Herald. – 2013. – Vol. 17, № 3 (67), part 1. – P. 18-20

Надійшла до редакції 06.06.2013 року

© Т.М. Бойчук, О.І. Петришн, Г.М. Чернікова, С.Б. Єрмоленко, 2013

УДК 616.12-005.4-073.55

О.Я. Ванчуляк

ПРИНЦИПИ ДОКАЗОВОЇ МЕДИЦИНІ ДЛЯ ЛОКАЛЬНОГО МАСШТАБНО-СЕЛЕКТИВНОГО КОРЕЛЯЦІЙНОГО АНАЛІЗУ РОЗПОДІЛІВ ЕЛІПТИЧНОСТІ ПОЛЯРИЗАЦІЇ ЛАЗЕРНИХ ЦИФРОВИХ МІКРОСКОПІЧНИХ ЗОБРАЖЕНЬ МІОКАРДА ЗА УМОВ ГОСТРОЇ ІШЕМІЇ

Буковинський державний медичний університет, м. Чернівці

Резюме. У роботі висвітлено показники, що об'єктивно свідчать про пошкодження міокарда людини за умов гострої ішемії. На засадах принципів доказової медицини обґрунтовано доцільність використання вейвлет-аналізу кореляційної структури мап еліптичності поляризації лазерних зображень міокарда для діагностики гострої коронарної недостатності та визначено операторні характеристики сили даного методу.

Ключові слова: поляризаційна мікроскопія, гостра коронарна недостатність міокарда, судово-медична експертиза.

Вступ. Актуальність дослідження в першу чергу пов'язана із необхідністю розширення інформаційної бази (урахування не тільки розподілів азимутів, що характеризують оптичну активність міозину, але й еліптичності поляризації, що характеризує структурованість сіток міозинових фібріл) для масштабно-селективного вейвлет-аналізу.

Мета дослідження. Пошук та встановлення взаємозв'язку між даними вейвлет-аналізу кореляційної структури мап еліптичності поляризації лазерних зображень міокарда при гострій коронарній недостатності (ГКН) та визначення на цій основі інформативності даного методу.

Матеріал і методи. Матеріалом дослідження були нативні зрізи міокарда людини товщиною 30 ± 5 мкм, виготовлені за допомогою заморожуючого мікротома: 27 зразків складали зрізи міокарда померлих із хронічною ішемічною хворобою серця (ХІХС), 30 зразків – забрані від трупів померлих від ГКН. Після чого зрізи досліджувались із використанням оптичної схеми в традиційному зображені поляриметра [1]. Використовували пучок ($\varnothing = 10_4$ мкм) He-Ne лазера ($\lambda = 0.6328$ мкм) [3].

Основний інформаційний засіб для аналізу поляризаційних мікроскопічних зображень зрізів

міокарда ми застосовували вейвлет-аналіз. З використанням програмного продукту MATLAB.

Як об'єкт для дослідження ми обрали координатний розподіл еліптичності поляризації в площині мікроскопічного зображення міокарда, який проводився програмою MatLab. Проведено лінійне $k_1, \dots, k_m; k=1-n$ сканування МНАТ - вейвлетом із кроком $b=1\text{pix}$ з розмірами вікна $1\mu\text{m} \leq a_{min} \leq 70\mu\text{m}$. МНАТ – функцію, це – вейвлет – функція, друга похідна Гаусової функції [2]. Для оцінювання координатної впорядкованості розподілу еліптичності поляризації в площині гістологічного зразка міокарда використовувався метод автокореляції. Для оцінки розподілів власних значень автокореляційних функцій $K(\Delta x)$ на різних масштабах a вейвлет-функції ψ обчислювалася сукупність їх статистичних моментів 1-4-го порядків $M_{j=1,2,3,4}$.

В основу визначення інформативності даного об'єктивного аналізу з позицій доказової медицини покладено чутливість (Se), специфічність (Sp), точність (Ac), прогностичність від'ємного результату (-VP), Прогностичність позитивного результату (+VP).

Результати дослідження та їх обговорення. У результаті сканування обчислено двовимірну

ns patho-
teria were
er images.

(Chernivtsi)
Chernivtsi)

– P. 18-20
2013 року

ВІХ
ШЕМІЙ

а визначено
оду.

скопія, гост-
ово-медична

аналіз. З ви-
ATLAB.

брали коор-
поляризації в
я міокарда.
Проведено
ІНАТ - вей-
рами вікна
– вейвлет –
кшії [2]. Для
нності розпо-
знання гістоло-
гії використався метод
зласних знач-
к) на різних
числювалася
в 1-4-го по-

вності дано-
оказової ме-
лекспіфічність
ь від ємного
позитивного
обговорення.
дловимірну

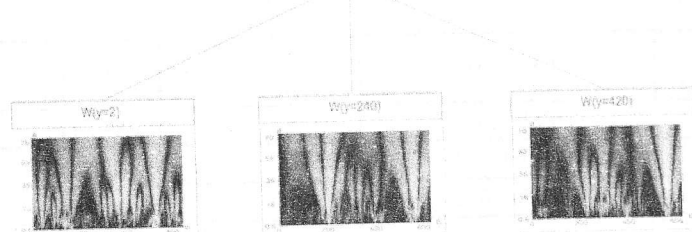
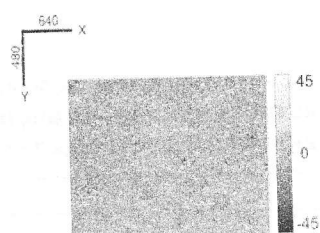


Рис. 1. Розподіли вейвлет-коєфіцієнтів поляризаційної мапи еліптичності поляризації лазерного цифрового мікроско-
пічного зображення міокарда групи 1 для різних рядків CCD – камери: а) - $k=2$; б) - $k=240$; в) - $k=420$

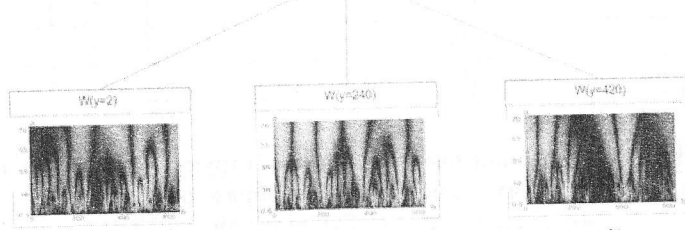
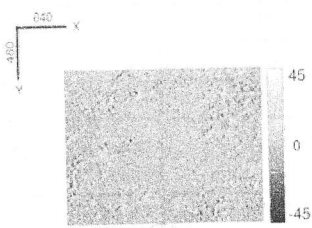
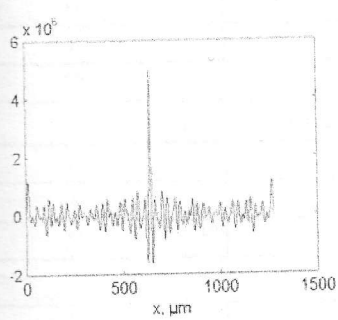
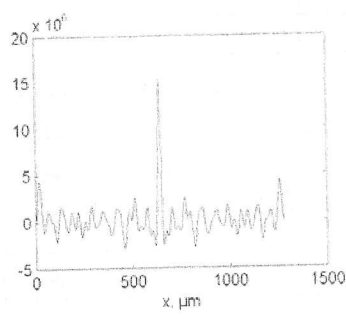


Рис. 2. Розподіли вейвлет-коєфіцієнтів поляризаційної мапи еліптичності поляризації лазерного цифрового мікроско-
пічного зображення шару міокарда групи 2 для різних рядків CCD – камери: а) - $k=2$; б) - $k=240$; в) - $k=420$

$$a_{\min} = 2 \mu m$$



$$a_{\min} = 10 \mu m$$



$$a_{\min} = 30 \mu m$$

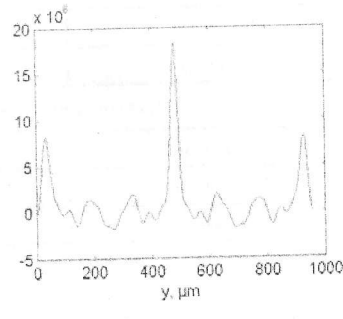
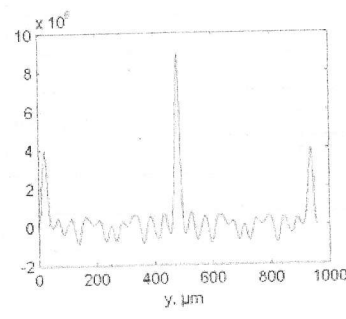
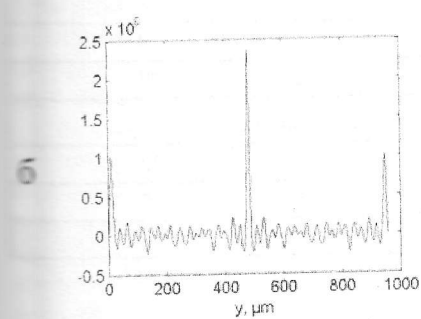
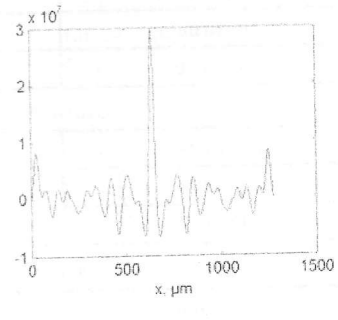


Рис. 3. Автокореляційні функції $K_d(\Delta x)$ розподілів величин вейвлет-коєфіцієнтів поляризаційної мапи еліптичності
поляризації цифрового мікроскопічного зображення міокарда: а) - зображення міокарда контрольної групи; б) - групи
перших від ГКН

Таблиця 1

Статистичні моменти 1-4-го порядків автокореляційних функцій $K_a(\Delta x)$ розподілу вейвлет-коєфіцієнтів поляризаційних мап еліптичності лазерних цифрових мікроскопічних зображень зрізів міокарда за умов хронічної ішемічної хвороби серця та гострої коронарної недостатності

XIXC (27 зразків)			ГКН (30 зразків)		
a_{\min}	M_j		a_{\min}	M_j	
$a_{\min} = 2 \mu m$	M ₁	0,75±0,086	$a_{\min} = 2 \mu m$	M ₁	0,69±0,084
	M ₂	0,12±0,018		M ₂	0,25±0,033
	M ₃	0,29±0,038		M ₃	0,74±0,087
	M ₄	0,47±0,062		M ₄	1,02±0,13
$a_{\min} = 10 \mu m$	M_j		$a_{\min} = 10 \mu m$	M_j	
	M ₁	0,64±0,071		M ₁	0,54±0,067
	M ₂	0,17±0,024		M ₂	0,27±0,036
	M ₃	0,73±0,085		M ₃	2,39±0,36
$a_{\min} = 30 \mu m$	M_j		$a_{\min} = 30 \mu m$	M_j	
	M ₁	0,57±0,069		M ₁	0,49±0,058
	M ₂	0,23±0,031		M ₂	0,34±0,038
	M ₃	0,92±0,14		M ₃	4,83±0,56
	M ₄	1,12±0,17		M ₄	3,84±0,43

Таблиця 2

Розподіл зразків за вейвлет-аналізом кореляційної структури розподілів еліптичності поляризації лазерних цифрових мікроскопічних зображень зразків гістологічних зрізів міокарда групи 1 (XIXC) і групи 2 (ГКН)

Вейвлет-аналіз	Патологія (ГКН)		Всього
	(XIXC, група 1)	(ГКН, група 2)	
Статистичний момент 2-го порядку M ₂ (масштаб $a_{\min}=2 \mu m$)			
Позитивні	10	21	31
Негативні	17	9	26
Всього	27	30	57
Статистичні моменти 3-го M ₃ і 4-го M ₄ порядку (масштаб $a_{\min}=2 \mu m$)			
Позитивні	8	23	31
Негативні	19	7	26
Всього	27	30	57
Статистичний момент 2-го порядку M ₂ (масштаби $a_{\min}=10 \mu m; 30 \mu m$)			
Позитивні	9	20	29
Негативні	18	10	28
Всього	27	30	57
Статистичні моменти 3-го M ₃ і 4-го M ₄ порядку (масштаби $a_{\min}=10 \mu m; 30 \mu m$)			
Позитивні	7	25	32
Негативні	20	5	25
Всього	27	30	57

сукупність вейвлет-коєфіцієнтів для кожного k-го рядка пікселів світлочутливої площинки цифрової камери 10 (рис. 1, рис. 2).

Дослідження автокореляційних функцій $K_a(\Delta x)$ на трьох структурних розмірах поляризаційних мап лазерних цифрових мікроскопічних

Таблиця 1
Вейвлет -
зображені
стисливості

Параметри	M_2 $a_{min}=2\mu m$	M_3, M_4 $a_{min}=2\mu m$	M_2 $a_{min}=10\mu m; 30\mu m$	M_3, M_4 $a_{min}=10\mu m; 30\mu m$
Чутливість Se , %	70	77	67	83
Специфічність Sp , %	63	70	63	74
Точність Ac , %	67	74	65	78
Прогностичність позитивного результату +VP, %	68	74	69	78
Прогностичність негативного результату -VP, %	65	73	64	80

зображені шарів міокарда при XIXC (рис. 3а) та шарів міокарда за умов ГКН (рис. 3б) показало, що автокореляційні функції $K_a(\Delta x)$ розподілів вейвлет – коефіцієнтів мап еліптичності лазерних зображень обох груп індивідуальні для кожного масштабу.

Порівняльний аналіз статистичної структури автокореляційних функцій розподілів вейвлет – коефіцієнтів поляризаційних мап еліптичності лазерних цифрових мікроскопічних зображень гістологічних зразків тканини міокарда обох груп (табл. 1):

1) Суттєві відмінності (у межах 2,2 раза) виявлені в дисперсії автокореляційної функції $K_a(\Delta x)$ на масштабі $a_{min}=2\mu m$ МНАТ - вейвлету.

2) Значне збільшення розбіжностей величин статистичних моментів 3-го (у 2,5-4,4 раза) і 4-го (у 2,1-3,2 раза) порядків автокореляційних функцій $K_a(\Delta x)$ визначених для більших масштабів $a_{min}=10\mu m; 30\mu m$ МНАТ - вейвлету.

Виявлені відмінності статистичних моментів $M_{j=1,2,3,4}$, які характеризують автокореляційні функції $K_a(\Delta x)$, можна пов'язати з тим, що ГКН найбільш виразно виявляється у змінах оптико-електронних властивостей тканини міокарда на масштабах міозинових структур. Такий процес призводить до зростання показника двопротиво-заломлення парціальних кристалів міозину у порядкованих за напрямами оптичних осей.

Поляризаційно такі процеси виявляються у формуванні складних асиметричних розподілів еліптичності поляризації відповідних лазерних цифрових мікроскопічних зображень шару міокарда у випадку гострої коронарної недостатності.

Результати застосування даного методу вейвлет-аналізу кореляційної структури розподілів еліптичності поляризації лазерних цифрових мікроскопічних зображень зразків гістологічних зразків міокарда групи 1 (ГКН) і групи 2 (ХС) для кожного об'єктивного параметра $M_{j=1,2,3,4}$ зведені в матрицю рішень, яку ілюструє таблиця 2.

Визначені на основі матриці рішень (табл. 2) операційні характеристики вейвлет-аналізу кореляційної структури розподілів еліптичності поляризації

Таблиця 3

Операційні характеристики інформативності вейвлет-аналізу кореляційної структури розподілів еліптичності поляризації лазерних цифрових мікроскопічних зображень зразків гістологічних зразків міокарда групи 1 (ХІХС) і групи 2 (ГКН)

розділів еліптичності поляризації лазерних цифрових мікроскопічних зображень зразків гістологічних зразків міокарда групи 1 (ХІХС) і групи 2 (ГКН), наведені в таблиці 3.

Аналіз одержаних даних виявив наступне:

- установлено, что для статистичного момента M_2 ($a_{min}=2\mu m$) кількість позитивних і хибно негативних рішень складає 21 та 9 (чутливість $Se=70\%$), а кількість негативних і хибно позитивних рішень складає 17 та 10 (специфічність $Sp=63\%$);
- установлено, что для статистичних моментів 3-го M_3 і 4-го M_4 порядку (масштаб $a_{min}=2\mu m$) кількість позитивних і хибно негативних рішень складає 23 та 7 (чутливість $Se=77\%$), а кількість негативних і хибно позитивних рішень складає 19 та 8 (специфічність $Sp=70\%$);
- установлено, что для статистичного момента M_2 ($a_{min}=10\mu m; 30\mu m$) кількість позитивних і хибно негативних рішень складає 20 та 10 (чутливість $Se=67\%$), а кількість негативних і хибно позитивних рішень складає 18 та 9 (специфічність $Sp=63\%$);
- установлено, что для статистичних моментів 3-го M_3 і 4-го M_4 порядку ($a_{min}=10\mu m; 30\mu m$) кількість позитивних і хибно негативних рішень складає 25 та 5 (чутливість $Se=83\%$), а кількість негативних і хибно позитивних рішень складає 20 та 7 (специфічність $Sp=74\%$);
- точність методу Ac становить 65%-78% з наступними параметрами прогностичності +VP=68 %-78 % і -VP=64 %-80 %.

Висновок

Запропоновано новий об'єктивний метод вейвлет-аналізу кореляційної структури мап еліптичності поляризації цифрових поляризаційних мікроскопічних зображень гістологічних зразків міокарда для діагностики гострої коронарної недостатності зокрема та проведення диференційної діагностики із суміжною патологією – хронічною ішемічною хворобою серця.

Перспектива подальших досліджень. Подальше дослідження структури міокарда за умов

гострої коронарної недостатності за допомогою лазерної поляриметрії дадуть можливість створити базу характеристик її зображень, як теоретичну основу для практичної діагностики даного виду патології.

Автор висловлює щиру подяку доктору фізи-ко-математичних наук, завідувачу кафедри оптики і спектроскопії, проректору з наукової роботи Чернівецького національного університету імені Юрія Федьковича, професору Ушенку Олександру Григоровичу та колективу його лабораторії за детальне обговорення результатів роботи та стимулювальні дискусії.

- Література**
- Angelsky O.V. Polarization reconstruction of orientation structure of biological tissues birefringent architectonic nets by using their Mueller-matrix speckle-images / O.V. Angelsky, A.G. Ushenko, Yu.A. Ushenko // J. Holography Speckle 2. – 2005. – P. 72-79.
 - Birefringence characterization of biological tissue by use of optical coherence tomography / M. J. Everett, K. Shoenenberger, B. W. Colston [et al.] // Opt. Lett. – 1998. – Vol. 23. – P. 228-230.
 - Investigation of 2D Mueller matrix structure of biological tissues for pre-clinical diagnostics of their pathological states / O. Angelsky, Yu. Tomka, A. Ushenko [et al.] // J. Phys. D: Appl. Phys. – 2005. – Vol. 38. – P. 4227-4235.

ПРИНЦИПЫ ДОКАЗАТЕЛЬНОЙ МЕДИЦИНЫ ДЛЯ ЛОКАЛЬНОГО МАСШТАБНО-СЕЛЕКТИВНОГО КОРРЕЛЯЦИОННОГО АНАЛИЗА РАСПРЕДЕЛЕНИЙ ЭЛЛИПТИЧНОСТИ ПОЛЯРИЗАЦИИ ЛАЗЕРНЫХ ЦИФРОВЫХ МИКРОСКОПИЧЕСКИХ ИЗОБРАЖЕНИЙ МИОКАРДА ПРИ УСЛОВИИ ОСТРОЙ ИШЕМИИ

O. Я. Ванчулляк

Резюме. В работе освещены показатели, объективно свидетельствующие о повреждении миокарда человека при острой ишемии. На основе принципов доказательной медицины обоснована целесообразность использования вейвлет-анализа корреляционной структуры карт эллиптичности поляризации лазерных изображений миокарда для диагностики острой коронарной недостаточности и определены операционные характеристики силы данного метода.

Ключевые слова: поляризационная микроскопия, осткая коронарная недостаточность, судебно-медицинская экспертиза.

THE PRINCIPLES OF EVIDENTIAL MEDICINE FOR A LOCAL LARGE-SCALE-SELECTIVE CORRELATION ANALYSIS OF THE DISTRIBUTIONS OF ELLIPTICITY FOR THE POLARIZATION OF LASER DIGITAL MICROSCOPIC IMAGES OF THE MYOCARDIUM UNDER THE CONDITIONS OF ACUTE ISCHEMIA

O. Ya. Wanchuliak

Abstract. This paper ascertains the use of indicators that objectively show evidence of damage to the human myocardium under conditions of acute ischemia. On the basis of the principles of evidence-based medicine, the feasibility, effectiveness, and operational characteristics of the application of wavelet analysis of the correlation structure of maps of ellipticity in polarization laser images for the diagnosis of acute coronary insufficiency are shown

Key words: polarization microscopy, acute coronary insufficiency, forensic-medical examination.

Bukovinian State Medical University (Chernivtsi)

Рецензент – проф. В. Т. Бачинський

Buk. Med. Herald. – 2013. – Vol. 17, № 3 (67), part 1. – P. 20-24

Надійшла до редакції 05.06.2013 року

© О. Я. Ванчулляк, 2013